

SV Physique I - 10

C. Hébert
LSME-IPHYS-SB-EPFL
Cecile.hebert@epfl.ch

26 novembre 2020

Plan du cours

- I - Introduction, outils de base, cinématique
- II - Référentiel accélérés
- III - Lois de Newton
- IV - Balistique – effet d'une force constante et uniforme
- V - Bilan des forces ; application des lois de Newton
- VI - Travail, Energie, principes de conservation
- VII - Chocs, systèmes de masse variable
- VIII - Oscillateur harmonique
- IX - Moment cinétique ; Gravitation
- X - **Solide indéformable**
- XI - Application du solide indéformable

X. Dynamique du solide indéformable

X-1. Introduction. Du système de points au solide indéformable.

X-2. Centre de masse d'un solide

X-3. Statique

X-4. Energie (cinétique) de rotation

X-5. Moment d'inertie d'un solide par rapport à un axe

X-6. Moment cinétique d'un solide

└ X. Dynamique du solide indéformable

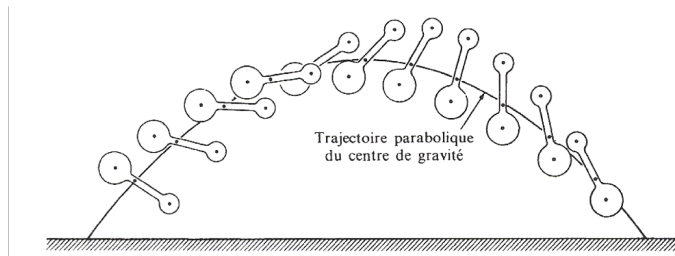
└ X-1. Introduction. Du système de points au solide indéformable.

X-1. Introduction. Du système de points au solide indéformable.

Un solide indéformable peut avoir un mouvement

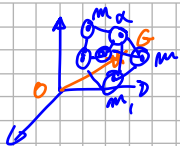
- de translation
- de rotation

Il va falloir mettre de nouveaux concepts en place pour le mouvement de rotation !



└ X. Dynamique du solide indéformable

└ X-1. Introduction. Du système de points au solide indéformable.

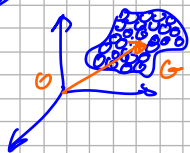


$$\vec{OG} = \frac{\sum_{\alpha} m_{\alpha} \vec{r}_{\alpha}}{M}$$

$$\sum \vec{F}_{\text{ext}} = m \vec{a}_G$$

$$\vec{P}_{\text{tot}} = M \vec{v}_G$$

$$M = \sum_{\alpha} m_{\alpha}$$

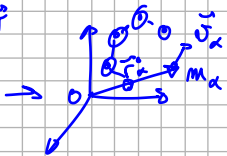


$$\vec{OG} = \frac{\int_{\text{vol}} \vec{r} \cdot dm}{M} = \frac{\int_{\text{vol}} \vec{r} \rho(\vec{r}) dV}{M} = \frac{\iiint_{x,y,z} \vec{r} \rho(\vec{r}) dV}{M}$$

analyse II



$$\vec{L}_0 = \vec{r}_{\alpha} \wedge m \vec{v}_{\alpha}$$



$$\vec{L}_0^{\text{tot}} = \sum_{\alpha} \vec{r}_{\alpha} \wedge (m_{\alpha} \vec{v}_{\alpha}) \rightarrow \vec{L}_0 = \int_{\text{vol}} d\vec{L}_0$$

$$\sum \vec{\mathcal{M}}_0^{\text{ext}} = \frac{d\vec{L}_0}{dt}$$

$$\sum \vec{\mathcal{M}}_0^{\text{ext}} = \frac{d\vec{L}_0^{\text{tot}}}{dt}$$

$$\sum \vec{\mathcal{M}}_0^{\text{ext}} = \frac{d\vec{L}_0}{dt}$$

└ X. Dynamique du solide indéformable

└ X-1. Introduction. Du système de points au solide indéformable.

Quantité de mouvement et 2ème Loi de Newton pour un solide :

$$\vec{P}_{\text{tot}} = M\vec{v}_G$$

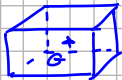
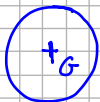
$$\sum \vec{F}^{\text{ext}} = M\vec{a}_G$$

Théorème du moment cinétique pour un solide

$$\vec{M}_O^{\text{ext}} = \frac{d\vec{L}_O}{dt}$$

X-2. Centre de masse d'un solide

Important dans tous les cas : le poids s'applique au centre de masse.



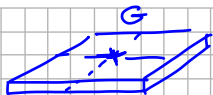
Pour des solides homogènes
le centre de masse est sur
le (les) axe(s) de symétrie



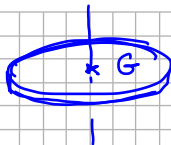
} position donnée.

└ X. Dynamique du solide indéformable

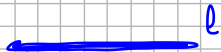
└ X-2. Centre de masse d'un solide



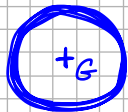
masse sur facette ρ_s
 $M = S \rho_s$



objets à deux dimensions



$M = \rho_l l$
 ρ_l masse linéique



anneau mince

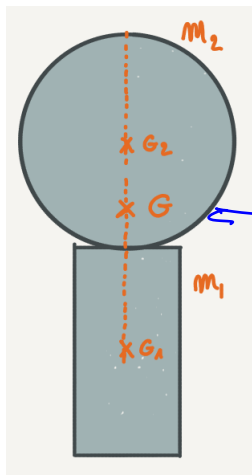
→ le centre de masse n'est pas forcément dans le solide



- X. Dynamique du solide indéformable

- X-2. Centre de masse d'un solide

Superposition de deux solides :



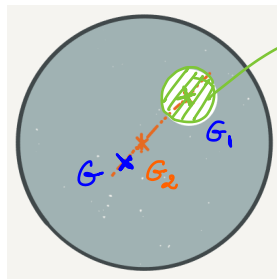
Solide total centre de masse: G

$$\vec{OG} = \frac{m_1 \vec{OG}_1 + m_2 \vec{OG}_2}{m_1 + m_2}$$

- X. Dynamique du solide indéformable

- X-2. Centre de masse d'un solide

solide à trou masse m centre de masse G



bouchon m_1
centre de masse G_1

$$\vec{OG}_2 = \frac{m\vec{OG} + m_1\vec{OG}_1}{m + m_1}$$

$$\vec{OG} = \frac{m_2\vec{OG}_2 - m_1\vec{OG}_1}{m}$$

solide bouché masse m_2
centre de masse G_2

$$m_2 = m + m_1$$

$$m\vec{OG} = m_2\vec{OG}_2 - m_1\vec{OG}_1$$

Chercher le c.d.m. entre le solide sans trou et un "trou" de masse négative égale à la masse enlevée au solide.

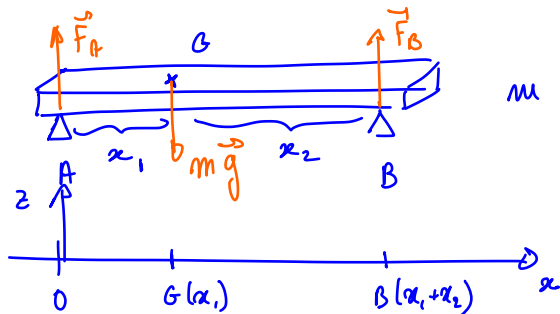
X-3. Statique

$$\vec{a}_G = \vec{0} \quad \vec{\Gamma}_O = \vec{0} \Rightarrow \sum \vec{\mathcal{L}}_O = \vec{0}$$

Les conditions sont alors :

$$\vec{F}^{\text{ext}} = \vec{0} \quad \vec{M}_O^{\text{ext}} = \vec{0}$$

Exemple : poutre (non homogène !) de masse m sur 2 supports. Déterminer les forces F_A en A et F_B en B exercées par les supports



$$\sum \vec{F} = \vec{0} \quad \vec{F}_A + \vec{F}_B + m\vec{y} = \vec{0}$$

$$F_A \vec{e}_3 + F_B \vec{e}_3 - mg \vec{e}_3 = \vec{0}$$

$$F_A + F_B - mg = 0$$

$$\sum \vec{\mathcal{L}}_A = \sum \vec{\mathcal{L}}_G = \sum \vec{\mathcal{L}}_B = \vec{0}$$

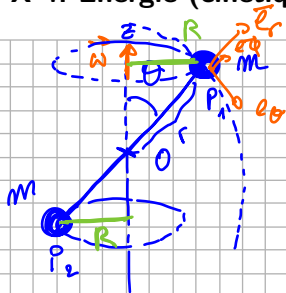
$$\begin{aligned}
 \text{en B: } \sum \vec{O}\vec{L}_B &= \vec{BA} \wedge \vec{F}_A + \vec{BG} \wedge m\vec{g} + \vec{BB} \wedge \vec{F}_B = \vec{0} \\
 &= -(\alpha_1 + \alpha_2) \vec{e}_2 \wedge F_A \vec{e}_y + (-\alpha_2) \vec{e}_x \wedge (-mg \vec{e}_y) = \vec{0} \\
 &= -F_A (\alpha_1 + \alpha_2) \vec{e}_z + mg \alpha_2 \vec{e}_z = \vec{0}
 \end{aligned}$$

$$F_A (\alpha_1 + \alpha_2) = mg \alpha_2 \Rightarrow$$

$$F_A = mg \frac{\alpha_2}{\alpha_1 + \alpha_2}$$

$$F_B = mg \frac{\alpha_1}{\alpha_1 + \alpha_2}$$

X-4. Energie (cinétique) de rotation



$$\vec{\omega} = \omega \vec{e}_z$$

des masses ont un mouvement circulaire uniforme

$$\vec{OP}_1 = r \vec{e}_r$$

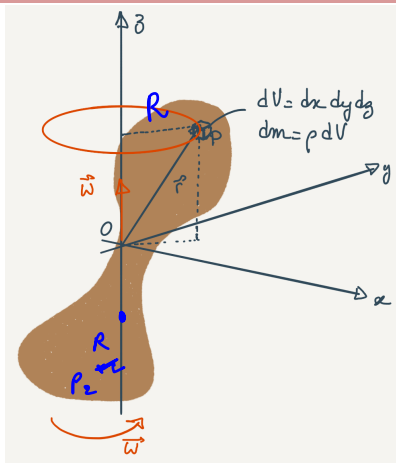
$$R = r \sin \theta \quad \vec{v}_1 = R \omega \vec{e}_\varphi$$

$$\text{masse 1} \quad E_{c,1} = \frac{1}{2} m (R\omega)^2 = \frac{1}{2} m R^2 \omega^2$$

$$\text{masse 2} \quad E_{c,2} = \frac{1}{2} m (R\omega)^2 = \frac{1}{2} m R^2 \omega^2$$

$$E_{c,rot} = E_{rot} = \frac{1}{2} (2m R^2) \omega^2$$

- └ X. Dynamique du solide indéformable
- └ X-4. Energie (cinétique) de rotation



Chaque "morceau" du solide décrit un cercle autour de l'axe Oz à la vitesse $R\omega$ avec R : distance P-axe

morceau de solide : volume dV
 masse $dm = \rho(\vec{r}) \cdot dV$

$$dE_{c,rot} = \frac{1}{2} dm (R\omega)^2 = \frac{1}{2} \rho(\vec{r}) dV R^2 \omega^2$$

$$E_{c,rot} = \int_{vol} \frac{1}{2} \rho(\vec{r}) dV R^2 \omega^2 = \frac{1}{2} \omega^2 \underbrace{\int_{vol} R^2 \rho(\vec{r}) dV}$$

Moment d'inertie du solide par rapport à Oz

└ X. Dynamique du solide indéformable

└ X-5. Moment d'inertie d'un solide par rapport à un axe

X-5. Moment d'inertie d'un solide par rapport à un axe

$$E_{\text{rot}} = \frac{1}{2} \omega^2 I_{O_3} \quad I_{O_3} = \int_{\text{vol}} R^2 \rho(r) dV \quad \text{moment d'inertie par rapport à } O_3$$

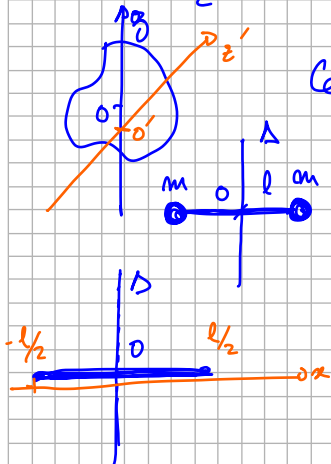
Cette grandeur dépend du solide et de l'axe

Cylindre creux masse M
rayon R $I_{\Delta} = \pi R^2$

$$I_{\Delta} = 2ml^2$$

tige de longueur l et de masse M entre $x = -\frac{l}{2}$ et $x = +\frac{l}{2}$

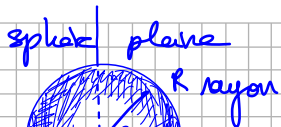
$$I_{\Delta} = \int_{-\frac{l}{2}}^{+\frac{l}{2}} x^2 \rho_e dx = \rho_e \left[\frac{x^3}{3} \right]_{-\frac{l}{2}}^{+\frac{l}{2}} = \frac{M}{l} \cdot \frac{2}{3} \frac{l^3}{8} = \frac{1}{12} \pi l^2$$



└ X. Dynamique du solide indéformable

└ X-5. Moment d'inertie d'un solide par rapport à un axe

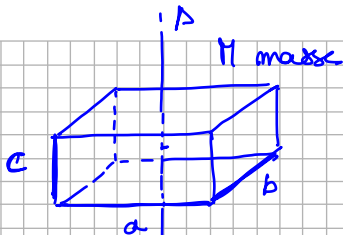
Solides usuels



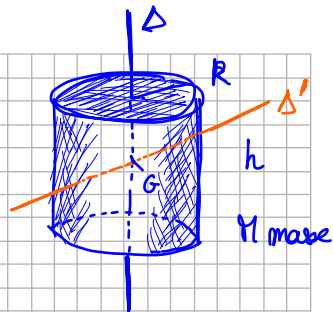
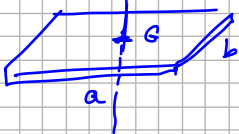
M masse

axe passant par G

$$I_{\Delta} = \frac{2}{5} MR^2$$



$$I_{\Delta} = \frac{1}{12} M (a^2 + b^2)$$



$$I_{\Delta} = \frac{1}{2} MR^2$$

Δ' perpendiculaire à Δ
passant par G

$$I_{\Delta'} = \frac{1}{4} M \left[R^2 + \frac{h^2}{3} \right]$$

- X. Dynamique du solide indéformable

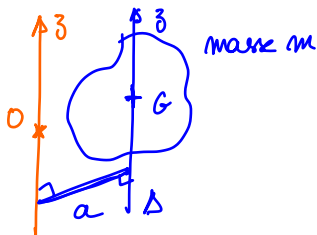
- X-5. Moment d'inertie d'un solide par rapport à un axe

Théorème de Steiner :

Si on a deux axes *parallèles* (Oz) et (Gz) distants de a , avec G centre de masse. Si I_{Gz} est le moment d'inertie par rapport à (Gz) alors

$$I_{Oz} = I_{Gz} + ma^2$$

I_{Oz} moment d'inertie par rapport à (Oz)



A diagram showing a thin rod of length l and mass m . Two parallel vertical axes are shown: Oz (orange) and Gz (blue). The distance between the axes is a . The rod is shown in two positions: one horizontal and one tilted, with dashed lines indicating its path.

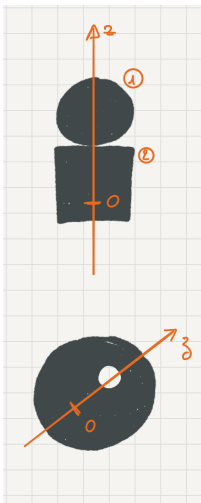
$$I_{Oz} = m\left(\frac{l}{2}\right)^2 + \frac{1}{12}ml^2$$

$$= ml^2\left(\frac{1}{4} + \frac{1}{12}\right) = \frac{1}{3}ml^2$$

- X. Dynamique du solide indéformable

- X-5. Moment d'inertie d'un solide par rapport à un axe

Solides composés et solides à trous



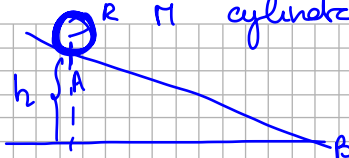
$$I_{Oz}^{\text{total}} = I_{Oz}^{(1)} + I_{Oz}^{(2)}$$

$$I_{Oz}^{\text{solide à trou}} = I_{Oz}^{\text{solide bouché}} - I_{Oz}^{\text{bouchon}}$$

└ X. Dynamique du solide indéformable

└ X-5. Moment d'inertie d'un solide par rapport à un axe

Application

 R M cylindre creux lâché sans vitesse en finale au haut d'un plan incliné. Roule sans glisser v_B en fonction de h + autres paramètres

Conservation de l'énergie mécanique $E_m = E_p^{\hat{g}} + E_{c,trans} + E_{c,rot} = cte$

$$E_{m,A} = E_{m,B} \Rightarrow E_{p,A} + E_{c,trans,A} + E_{c,rot,A} = E_{p,B} + E_{c,trans,B} + E_{c,rot,B}$$

$$\Rightarrow Mgh + 0 + 0 = 0 + \frac{1}{2} M v_B^2 + \frac{1}{2} I_{G_3} \omega_B^2$$

$$Mgh = \frac{1}{2} M v_B^2 + \frac{1}{2} I_{G_3} \omega_B^2 \quad I_{G_3} = MR^2 \quad \omega = \frac{v}{R} \Rightarrow \omega_B = \frac{v_B}{R}$$

$$Mgh = \frac{1}{2} M v_B^2 + \frac{1}{2} M R^2 \frac{v_B^2}{R^2} = M v_B^2 \Rightarrow \underline{v_B = \sqrt{gh}} < \sqrt{2gh} \text{ pour matériel!}$$

X-6. Moment cinétique d'un solide.

Rappel : quantité de mouvement et 2ème Loi de Newton pour un solide :

$$\vec{P}_{\text{tot}} = M\vec{v}_G$$

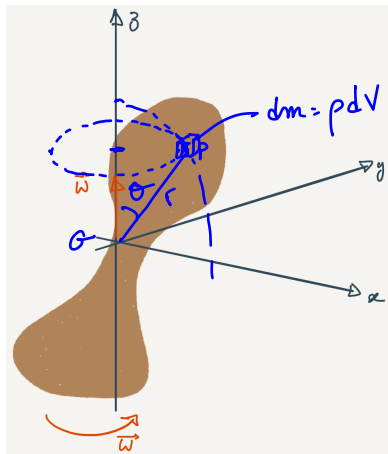
$$\sum \vec{F}^{\text{ext}} = M\vec{a}_G$$

Théorème du moment cinétique pour un solide

$$\vec{M}_O^{\text{ext}} = \frac{d\vec{L}_O}{dt}$$

O fixe dans le référentiel

Soit un solide en rotation autour d'un axe passant par G. On place l'axe (Gz) de manière que ce soit l'axe de rotation. Le vecteur rotation est alors $\vec{\omega} = \omega \vec{e}_z$



$$\vec{v} = r \sin\theta \omega \vec{e}_\varphi$$

$$d\vec{p} = dm \vec{v} = dm r \sin\theta \omega \vec{e}_\varphi$$

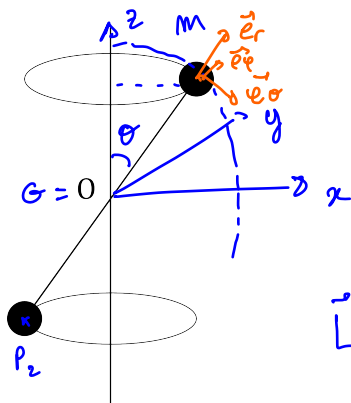
$$d\vec{L}_G = \vec{r} \wedge d\vec{p} = r \vec{e}_r \wedge (dm r \sin\theta \omega \vec{e}_\varphi)$$

$$= dm r^2 \sin\theta \omega (-\vec{e}_\theta)$$

$$\vec{L}_G = \int_{\text{volume}} d\vec{L}_G \Rightarrow ??$$

Solede simplifié

Cas simple : "haltère" en rotation, dont la tige a une masse négligeable.



$$\vec{r} = r \vec{e}_r$$

$$\vec{v} = R \omega \vec{e}_\varphi = r \sin \theta \omega \vec{e}_\varphi$$

$$\vec{L}_G^{(1)} = r \vec{e}_r \wedge (m r \sin \theta \omega \vec{e}_\varphi) = m r^2 \sin \theta \omega (-\vec{e}_\theta)$$

$$\vec{L}_G^{(2)} = \underbrace{\vec{OP}_2}_{-\vec{OP}_1} \wedge M \underbrace{\vec{v}_2}_{-\vec{v}_1}$$

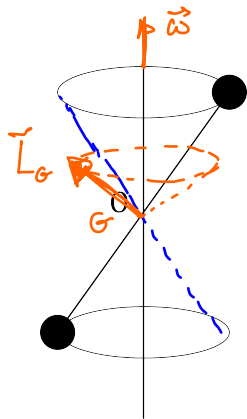
$$= \vec{L}_G^{(2)} = \vec{OP}_1 \wedge M \vec{v}_1 = \vec{L}_G^{(1)}$$

$$\vec{L}_G^{(H)} = 2m r^2 \sin \theta \omega (-\vec{e}_\theta)$$

$2m = M$ masse totale
des solides

- X. Dynamique du solide indéformable

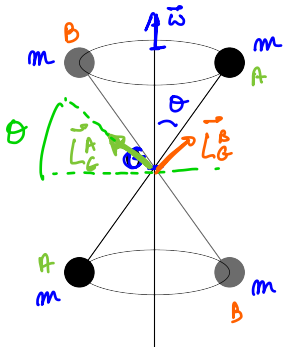
- X-6. Moment cinétique d'un solide



dorsque le solide tourne au tour de (Oz)
le moment cinétique \vec{L}_G varie (sa direction change).

$$\sum \vec{\alpha}_G^{\text{ext}} = \frac{d\vec{L}_G}{dt} \neq \vec{0}$$

En général, le moment cinétique n'est pas parallèle à l'axe de rotation. Sauf si il y a une certaine symétrie dans la répartition de la masse :



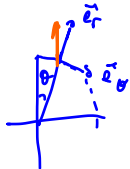
$$M = 4m \quad \vec{L}_G^A = 2mr^2 \sin\theta \omega (-\vec{e}_\theta)$$

$$\vec{L}_G = \vec{L}_G^A + \vec{L}_G^B \quad \vec{L}_G^{(A)} \cdot \vec{e}_3$$

$$= (2\vec{L}_G^{(A)} \cdot \vec{e}_3) \vec{e}_3 = 2(2mr^2 \sin\theta \omega) (-\vec{e}_\theta \cdot \vec{e}_3) \vec{e}_3$$

$$\vec{e}_3 = \cos\theta \vec{e}_r - \sin\theta \vec{e}_\theta \Rightarrow (-\vec{e}_\theta \cdot \vec{e}_3) = \sin\theta$$

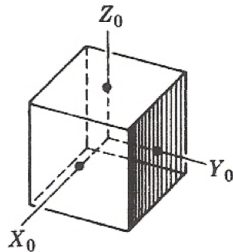
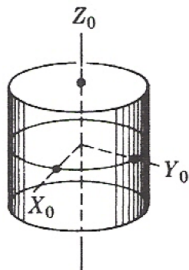
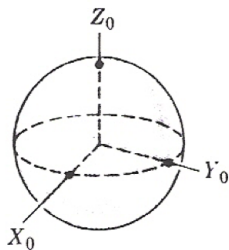
$$\vec{L}_G = 4mr^2 \sin^2\theta \omega = M R^2 \omega \vec{e}_3 = M R^2 \vec{\omega}$$



Dans certains cas $\vec{L}_G // \vec{\omega}$. Alors : $\vec{L}_G = I_G \vec{\omega}$

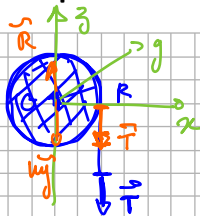
$$\vec{L}_G = \vec{I}_{G_3} \vec{\omega}$$

Exemples de cas symétriques :



Un axe des solides tel que une rotation autour de cet axe (G_3)
 donne $\vec{L}_G = I_{G_3} \vec{\omega}$ s'appelle **axe principal d'inertie**
 Tout solide admet au moins 3 axes principaux d'inertie

Exemple



poulie de section plein homogène G : centre rayon R
 masse M Poulie fixée par son axe

corde inextensible et sans masse

initialement : poulie immobile \vec{T} devant t_0 , quelle est la longueur de corde déroulée ?

(G, x, y, z)

Forces \vec{T} , $\vec{\omega}$, \vec{R}

$$\sum \vec{\sigma}_G = \frac{d\vec{L}_G}{dt} = \vec{G} \cancel{\vec{G}} \wedge \vec{\omega} + \vec{G} \cancel{B} \wedge \vec{R} + \vec{G} \cancel{A} \wedge \vec{T}$$

$$\sum \vec{\sigma}_G = R \vec{e}_x \wedge -T \vec{e}_y = RT \vec{e}_y$$

$$\vec{\omega} = \omega \vec{e}_y \quad G_y \text{ axe principal d'inertie} \quad I_{G_y} = \frac{1}{2} MR^2 \Rightarrow \vec{L}_G = \frac{1}{2} MR^2 \omega \vec{e}_y$$

$$\frac{d}{dt} \vec{L}_G = \frac{1}{2} MR^2 \dot{\omega} \vec{e}_y = RT \vec{e}_y \Rightarrow T = \frac{1}{2} MR \dot{\omega} \Rightarrow \dot{\omega} = \frac{2T}{MR} \Rightarrow \omega(t) = \frac{2T}{MR} t$$

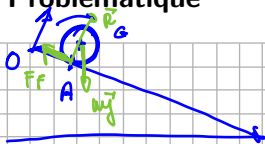
$$\theta(t) = \frac{T}{MR} t^2 \quad \theta(t_0) = \frac{T t_0^2}{MR} \quad l = R\theta(t_0) = \frac{R T t_0^2}{MR} \quad l = \frac{T}{\pi} t_0^2$$

- X. Dynamique du solide indéformable

- X-7. Solide qui roule

X-7. Solide qui roule

Problématique



$$\vec{L}_X = I_{X_3} \vec{\omega}$$

$$\sum \vec{\mathcal{M}}_{OAG} = \frac{d\vec{L}_{OAG}}{dt} \quad \text{point fixe de } \mathcal{R} \quad \text{A G O}$$

$$\vec{L}_{AG} = I_{AG} \vec{\omega} \quad \vec{L}_G = I_{G_3} \vec{\omega} \quad \text{A G O}$$

fonctionne si $X \equiv G$ ou si X un point lié au solide à vitesse nulle cela marche pour A

de la contrainte $\sum \vec{\mathcal{M}}_O = \frac{d\vec{L}_O}{dt}$ pour O fixe et trop limitante!

└ X. Dynamique du solide indéformable

└ X-7. Solide qui roule

Parfois, on souhaite utiliser un point *non fixe* pour étudier le mouvement.

$$\sum \vec{\sigma}_A \stackrel{?}{=} \frac{d\vec{L}_A}{dt} \quad \underline{A} \text{ quelconque ?}$$

$$O \text{ fixe dans } \mathcal{R} \quad \sum \vec{\sigma}_O = \frac{d\vec{L}_O}{dt} \quad \text{OK} \quad A \text{ non fixe}$$

$$\begin{aligned} \vec{L}_A &= \int_{\text{vol}} \vec{AP} \wedge dm \vec{v}_R(P) = \int_{\text{vol}} (\vec{AO} + \vec{OP}) \wedge dm \vec{v}_R(P) = \int_{\text{vol}} \vec{AO} \wedge \vec{v}_R(P) dm + \underbrace{\int_{\text{vol}} \vec{OP} \wedge \vec{v}_R(P) dm}_{\vec{L}_O} \\ &= \vec{AO} \wedge \int_{\text{vol}} \vec{v}_R(P) dm + \vec{L}_O = \vec{AO} \wedge M \vec{v}_R(G) + \vec{L}_O \end{aligned}$$

$$\vec{L}_A = -\vec{OA} \wedge M \vec{v}_R(G) + \vec{L}_O \quad \frac{d\vec{L}_A}{dt} = -\frac{d\vec{OA}}{dt} \wedge M \vec{v}_R(G) + (-\vec{OA}) \wedge M \frac{d\vec{v}_R(G)}{dt} + \frac{d\vec{L}_O}{dt}$$

$$\begin{aligned} \frac{d\vec{L}_A}{dt} &= -M \vec{v}_R(A) \wedge \vec{v}_R(G) - \vec{OA} \wedge M \vec{a}_R(G) + \sum \vec{\sigma}_O \\ &= -M \vec{v}_R(A) \wedge \vec{v}_R(G) - \vec{OA} \wedge \sum \vec{F}^{\text{ext}} + \sum \vec{OP}_{\text{app}}^{\text{PF}} \wedge \vec{F} \end{aligned}$$

└ X. Dynamique du solide indéformable

└ X-7. Solide qui roule

$$\frac{d\vec{L}_A}{dt} = -M \vec{\omega}_R(A) \wedge \vec{\omega}_R(G) - \vec{OA} \wedge \sum \vec{F}^{\text{ext}} + \sum \vec{OP}_{\text{app}}^{\vec{F}} \wedge \vec{F}^{\text{ext}}$$

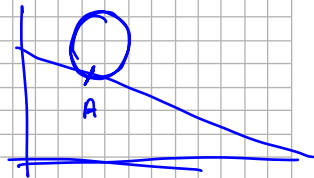
$$+ \sum \vec{AO} \wedge \vec{F}^{\text{ext}} + \vec{OP}_{\text{app}}^{\vec{F}} \wedge \vec{F}^{\text{ext}}$$

$$+ \underbrace{\sum (\vec{AP}_{\text{app}}^{\vec{F}})}_{\vec{dL}_A} \wedge \vec{F}^{\text{ext}}$$

$$\frac{d\vec{L}_A}{dt} = \vec{dL}_A - M \vec{\omega}_R(A) \wedge \vec{\omega}_R(G)$$

$$\frac{d\vec{L}_A}{dt} = \vec{dL}_A$$

} Si A est fixe
 } Si A \equiv G
 } Si $\vec{\omega}_R(A)$ colinéaire $\vec{\omega}_R(G)$



En résumé :

Pour pouvoir utiliser

$$\vec{M}_A^{\text{ext}} = \frac{d\vec{L}_A}{dt}$$

Il faut que A soit fixe dans le référentiel, ou confondu avec le c.d.m. ou se déplace à une vitesse colinéaire à celle du c.d.m. G

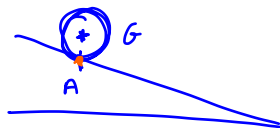
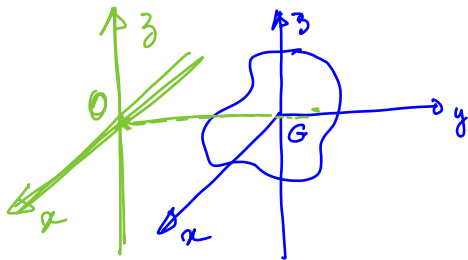
Pour pouvoir calculer \vec{L}_A avec $\vec{L}_A = I_{Az}\vec{\omega}$ $\vec{\omega}$ vecteur rotation autour de (Az)

Il faut que (Az) soit un axe principal d'inertie

ET que

$A = G$ OU A est un point du solide à vitesse nulle.

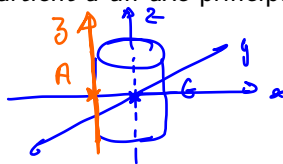
(O, x, y, z) peuvent-ils être axes principaux d'inertie ?



Oui, si (G, x, y, z) sont axes principaux d'inertie et si O appartient à un axe principal d'inertie.

Dans ce cas, pour une rotation autour de (Oz) :

$$\vec{\omega} = \omega \vec{e}_z \text{ et } \vec{L}_O = I_{Oz} \vec{\omega}.$$



Comparaison translation / rotation

Translation

$$\vec{v}, \vec{\omega}, \vec{a}$$



$$\sum \vec{F}_i = m \vec{a}_G = \frac{d}{dt} \vec{p}$$

Forces

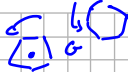
$$\vec{p} = m \vec{v}_G$$

$$\frac{1}{2} m v^2$$

Rotation

$$\theta, \omega, \dot{\omega} = \alpha$$

$$\vec{\omega} = \alpha \vec{e}$$



$$\sum \vec{\sigma}_0 = \frac{d\vec{L}_0}{dt}$$

Forces I_D

$$\vec{L}_0$$

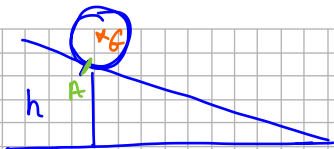
$$(\vec{L}_0 = I_D \vec{\omega})$$

$$\frac{1}{2} I_D \omega^2$$

- X. Dynamique du solide indéformable

- X-7. Solide qui roule

Exo à faire qui sera corrigé en amphi.



Un cylindre roule sur un plan incliné

$\vec{\Omega}_G(t)$? $\sum \vec{\mathcal{M}}_{AG} = \frac{dL_{AG}}{dt}$

$\alpha_G(t)$

X-8. Tenseur d'inertie (hors programme)

Cas où l'axe de rotation passe par G , centre de masse :

En fait, de manière générale :

$$\vec{L}_G = \underline{I}_G \vec{\omega}$$

avec :

$$\underline{I} = \begin{pmatrix} \int (y^2 + z^2) dm & -\int xy dm & -\int xz dm \\ -\int yx dm & \int (x^2 + z^2) dm & -\int yz dm \\ -\int zx dm & -\int zy dm & \int (x^2 + y^2) dm \end{pmatrix} = \begin{bmatrix} (r \cos \theta)^2 M & 0 & -Mr^2 \sin \theta \cos \theta \\ 0 & 0 & 0 \\ -Mr^2 \sin \theta \cos \theta & 0 & M(r \sin \theta)^2 \end{bmatrix} \begin{bmatrix} 0 \\ 0 \\ \omega \end{bmatrix}$$

\underline{I} est le tenseur d'inertie, il dépend de l'origine et des axes choisis.

